

# 任意阶 PDE 降噪特性分析\*

尹爱军<sup>1</sup>, 张泉<sup>1,2</sup>, 戴宗贤<sup>3</sup>

(1. 重庆大学机械传动国家重点实验室 重庆, 400044) (2. 天津送变电工程公司 天津, 300161)

(3. 重庆市计量质量检测研究院第一分院 重庆, 402260)

**摘要** 通过对分数阶微积分原理的研究, 提出了任意阶偏微分方程 (partial differential equations, 简称 PDE) 降噪的统一模型, 实现了基于任意阶 PDE 降噪的数值化方法, 并分析了任意阶 PDE 降噪特性。该数值化方法能够快速实现信号降噪, 耗时少。通过仿真实验, 分析了 PDE 降噪性能的影响因素, 与其他去噪方法进行了对比分析, 并对现场实测信号进行了降噪分析。结果表明, PDE 数值求解降噪方法性能优良, 算法简单。

**关键词** 偏微分方程; 分数阶; 降噪; 振动信号

**中图分类号** TN911

## 引言

信号降噪在信号特征提取和参数化中具有重要的意义。滤波降噪理论与方法获得了广泛深入的研究, 其理论从一般的平稳信号降噪方法发展到各种非平稳信号降噪方法, 如小波去噪、经验模态分解 (empirical mode decomposition, 简称 EMD)、奇异值分解降噪及滑动平均滤波等降噪方法<sup>[1]</sup>。小波变换是一种很好的非平稳信号降噪方法, 得到了广泛的研究和应用<sup>[2]</sup>。不同的小波基及阈值对去噪效果有很大影响<sup>[3]</sup>。EMD 具有良好的自适应时频分析能力, 但 EMD 需要先验知识, 降低了该算法的鲁棒性<sup>[4-5]</sup>。奇异值分解降噪是一种非线性滤波方法, 奇异值数目选取是其降噪效果好坏的关键, 但有效阶次的选择并没有明确方法<sup>[6]</sup>。滑动平均滤波能够有效抑制随机误差, 提高信噪比, 但高频变化的确定性成分会因平均而被削弱<sup>[7]</sup>。偏微分方程 (PDE) 在图像去噪、图像增强等方面取得了很好的应用效果<sup>[8-9]</sup>。PDE 在一维振动信号也得到一些应用, Baravdish 等<sup>[10]</sup>通过矩阵奇异值分解与 PDE 实现对音频信号进行降噪。Yin 等<sup>[11]</sup>研究了基于 PDE 的信号修补方法, 在 EMD 端点效应处理取得了很好的效果。文献<sup>[12]</sup>将 PDE 用于振动信号去噪取得了很好的实际应用效果。和整数阶 PDE 一样, 分数阶 PDE 受到广泛的关注。Pu 等<sup>[13]</sup>通过分数阶

的 PDE 降噪模型对二维图像信号进行降噪, 取得了更好的效果。Bai 等<sup>[14]</sup>利用非线性的各向异性分数阶扩散方程获得更自然的影像。然而, 分数阶 PDE 的阶次被限制在一个很小的范围内, 这影响了 PDE 降噪效果。

笔者根据分数阶微积分原理, 从传统滤波器的幅频特性角度出发, 提出了任意阶 PDE 降噪的统一模型, 并研究了 PDE 滤波器的设计方法以及基于 PDE 降噪的数值化方法, 建立了基于数值解降噪的一般过程。通过仿真实验, 分析了 PDE 降噪性能的影响因素, 并与小波去噪等方法进行了对比分析。结果表明, PDE 数值求解降噪方法性能优良, 算法简单。

## 1 任意阶 PDE 滤波模型

### 1.1 分数阶微积分定义

从不同的应用角度去分析问题可以得到不同的分数阶微积分定义。至今为止, 分数阶微积分仍没有统一的定义表达式<sup>[15]</sup>。目前, 主要有 4 种经典的分数阶微积分定义: Grünwald-Letnikov, Capotu, Riemann-Liouville 和 Cauchy 定义。其中, 后 3 种定义使用了 Cauchy 积分公式, 计算复杂度较高, 不利于分数阶微分数值计算。

Grünwald-Letnikov 定义是对整数阶微分的差

\* 国家自然科学基金资助项目 (51105396); 中央高校基本科研业务费资助项目 (CDJZR13 11 55 01)  
收稿日期: 2014-12-09; 修回日期: 2015-01-07

分近似递推而来。式(1)为 Grünwald-Letnikov 分数阶微积分定义表达式

$${}_z^G D_t^v f(t) \triangleq \lim_{h \rightarrow 0} f_h^{(v)}(t) \triangleq \lim_{\substack{h \rightarrow 0 \\ ih = t-z}} h^{-v} \sum_{b=0}^i \binom{-v}{b} f(t-bh) \quad (1)$$

其中:  ${}_z^G D_t^v f(t)$  的上标 G 表示 Grünwald-Letnikov 定义; 上标  $v$  表示求  $v$  阶微分; 下标  $z$  和  $t$  表示求积分式的下界和上界;  $z$  为时间  $t$  的初值。

根据算子理论, 当  $v < 0$  时,  $v$  阶微分转化为  $v$  阶积分,  ${}_z^G D_t^v f(t) = {}_z^G I_t^{v'} f(t)$  ( $v' = -v$ )。根据式(1), 当  $v \in Z^+$  时, 分数阶微分将退化为整数阶微分; 当  $v \in Z^-$  时, 分数阶积分将退化为整数阶积分。

Riemann-Liouville 分数阶的微积分定义是对 Grünwald-Letnikov 定义的改进, 有

$${}_z^R D_t^v f(t) = \begin{cases} \frac{d^n f}{dt^n} & (v = n \in N) \\ \frac{d^n}{dt^n} \frac{1}{\Gamma(n-v)} \int_z^t \frac{s(\tau)}{(t-\tau)^{v-n+1}} d\tau & (0 \leq n-1 < v < n) \end{cases} \quad (2)$$

其中:  ${}_z^R D_t^v f(t)$  中除了 R 以外的参数与 Grünwald-Letnikov 型分数阶微积分定义相同; R 表示 Riemann-Liouville 分数阶的微积分定义。

在一定条件下, 可由 Grünwald-Letnikov 型分数阶导数定义获得 Riemann-Liouville 型分数阶导数的数值化解法<sup>[16]</sup>。

Riemann-Liouville 型分数阶导数具有如下复合运算法则

$${}_z^R D_t^r \left( \frac{d^n f(t)}{dt^n} \right) = {}_z^R D_t^{n+r} f(t) - \sum_{k=0}^{n-1} \frac{f^{(k)}(z)(t-z)^{k-r-n}}{\Gamma(-r-n+k+1)} \quad (n \in Z) \quad (3)$$

## 1.2 任意阶 PDE 滤波原理

笔者根据热传导方程, 从滤波器角度推导了整数阶偏微分方程的滤波原理和方法<sup>[11-12]</sup>。在这些研究基础上, 分析任意阶偏微分方程的滤波特性。定义分数阶偏微分方程式为

$$\begin{cases} \frac{\partial u}{\partial t} - a^v \frac{\partial^v u}{\partial x^v} = f(x, t) \\ (x \in R, t > 0, v \in R, a \in R^+) \\ u(x, 0) = \varphi(x) \quad (x \in R) \end{cases} \quad (4)$$

当  $f(x, t) = 0$  时, 利用傅里叶变换法, 式(4)为

$$\begin{cases} dU(\omega, t)/dt = a^v (i\omega)^v U(\omega, t) \\ U(\omega, 0) = \Phi(\omega) \end{cases} \quad (5)$$

解得

$$U(\omega, t) = \Phi(\omega) K(\omega, t) \quad (6)$$

其中:  $U(\omega, t) = F(u(x, t))$ ,  $\Phi(\omega) = F(\phi(x))$  分别为  $u(x, t)$ ,  $\phi(x)$  的关于  $x$  的傅里叶变换。

$K(\omega, t)$  为

$$K(\omega, t) = e^{a^v (i\omega)^v t} \quad (7)$$

当  $\phi(x)$  表示原始信号时, 式(4)的解即为对信号  $\phi(x)$  的滤波过程,  $K(\omega, t)$  即为滤波器频率响应。

因在复数域中,  $(i\omega)^v$  可表示为

$$\begin{cases} (i\omega)^v = a_v^\wedge(\omega) \exp(i\theta_v(\omega)) \\ a_v^\wedge(\omega) = |\omega|^v \\ \theta_v(\omega) = \frac{v\pi}{2} \text{sgn}(\omega) \end{cases}$$

则式(7)可以表示为

$$K(\omega, t) = \exp(a^v |\omega|^v e^{i\frac{v\pi}{2}} t) = e^{a^v \omega^v t \cos \frac{v\pi}{2}} e^{ia^v \omega^v t \sin \frac{v\pi}{2}} = P(\omega, t) Q(\omega, t) \quad (\omega > 0) \quad (8)$$

其中:  $P(\omega, t) = e^{a^v \omega^v t \cos \frac{v\pi}{2}}$ ;  $Q(\omega, t) = e^{ia^v \omega^v t \sin \frac{v\pi}{2}}$ 。

令  $\varphi(\omega, t) = a^v \omega^v t \sin \frac{v\pi}{2}$ , 则  $P(\omega, t)$ ,  $\varphi(\omega, t)$  分

别为  $K(\omega, t)$  的幅频特性和相频特性。

若偏微分方程的阶次  $v$  为奇数, 幅频特性为

$$P(\omega, t) = e^{a^v \omega^v t \cos \frac{v\pi}{2}} = 1 \quad (\omega > 0)$$

因此, 奇次阶时保持信号幅值不变, 只是相位发生改变。又因为当  $v$  使得  $\cos \frac{v\pi}{2} > 0$  时,  $P(\omega, t)$  单调递增, 不适合信号滤波, 不失一般性, 将式(4)改写成式(9)

$$\begin{cases} \frac{\partial u}{\partial t} - a^v \frac{\partial^v u}{\partial x^v} = 0 \\ u(x, 0) = \phi(x) \end{cases} \quad (9a)$$

$$(v = \dots(-7, -5) \cup (-3, -1) \cup (1, 3) \cup (5, 7) \dots)$$

$$\begin{cases} \frac{\partial u}{\partial t} + a^v \frac{\partial^v u}{\partial x^v} = 0 \\ u(x, 0) = \phi(x) \end{cases} \quad (9b)$$

$$(v = \dots(-9, -7) \cup (-5, -3) \cup (-1, 1) \cup (3, 5) \dots)$$

进一步可得到任意阶 PDE 降噪模型

$$\begin{cases} \frac{\partial u}{\partial t} + (-1)^n a^v \frac{\partial^v u}{\partial x^v} = 0 \\ u(x, 0) = \phi(x) \end{cases} \quad (10)$$

$$(n = \text{round}(\frac{v}{2}), x \in R, t > 0)$$

其中:  $n = \text{round}(\frac{v}{2})$  为求  $\frac{v}{2}$  四舍五入值。

定义信号  $\phi(x)$  具有 0 边界条件, 即有  $u^{(k)}(0, t) =$

0, (k=0, 1, \dots, n-1), 且 a=0, 则式(3)可变为

$${}^R D_t^r \left( \frac{d^n f(t)}{dt^n} \right) = {}^R D_t^{r+n} f(t) \quad (n \in Z)$$

式(10)变为

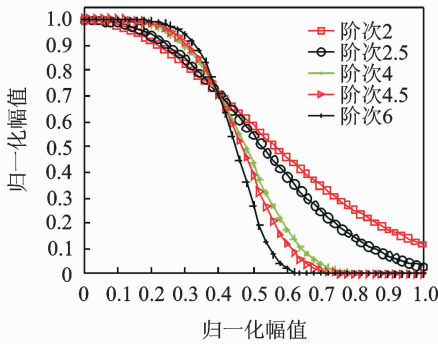
$$\begin{cases} \frac{\partial u}{\partial t} + (-1)^n a {}^R D_t^r \left[ \frac{\partial^n u}{\partial x^n} \right] = 0 \\ u(x, 0) = \phi(x) \end{cases} \quad (11)$$

其中: x \in R; t > 0; n \in Z; v = r + n; 0 < r < 1.

此时

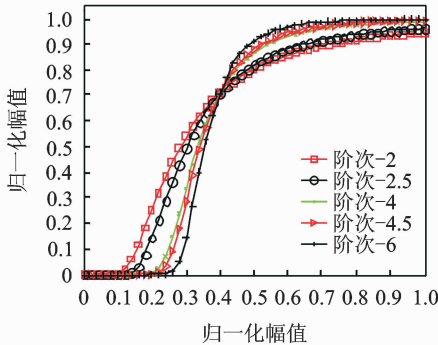
$$P(\omega, t) = e^{-a {}^v \omega {}^v t} \left| \cos \frac{\omega x}{2} \right| \quad (12)$$

若 v > 0 时, K(\omega, t) 为低通滤波器; 若 v < 0 时, 为高通滤波过程. 阶次越高, 滤波器衰减的越快. 不同阶次对应的滤波器幅频特性如图 1 所示.



(a) 正实数阶滤波器幅频特性

(a) Positivenumber order filter magnitude-frequency curves



(b) 负实数阶滤波器幅频特性

(b) Negative order filter magnitude-frequency curves

图 1 滤波器幅频特性

Fig. 1 Filter magnitude-frequency curves

### 1.3 PDE 滤波器参数确定

设 Y 为滤波器截止频率对应的衰减, 由式(12)得到

$$20 \lg \left( \frac{1}{e^{-a {}^v (2\pi f_n)^v} \left| \cos \frac{\omega x}{2} \right|} \right) = Y$$

即

$$\tau = \frac{0.115Y}{a {}^v (2\pi f_n)^v \left| \cos \left( \frac{v\pi}{2} \right) \right|} \quad (13)$$

其中: \tau 为演化时间.

由式(13)可知, 当阶次 v 及 a 确定后, 通过确定滤波范围即可确定演化时间. 当 v > 0 时, 若截止频率无穷大, \tau 趋近于 0, 此时输入信号相当于通过了一个全通滤波器; 而当截止频率趋近于 0, \tau 趋近于无穷大, PDE 滤波后输出直流; 当 v < 0 时, 情形与 v > 0 相反.

## 2 任意阶 PDE 降噪的数值化

对于式(7), 任意阶 PDE 滤波器系数 k(x, t) 可以通过经典的滤波器设计方法得到, 则滤波后的信号为 \phi'(x) = \phi(x) \* k(x, t). 然而在滤波器数值化及截断过程中, 实际 PDE 滤波器与理想 PDE 滤波器之间存在差异. 因此, 通过对分数阶 PDE 的数值化求解可更准确地实现 PDE 滤波.

当 n=1 时, 阶次 1 \le v < 2, 式(11)变为

$$\begin{cases} \frac{\partial u}{\partial t} - a {}^v D_t^r \left[ \frac{\partial u}{\partial x} \right] = 0 \\ u(x, 0) = \phi(x) \end{cases} \quad (x \in R, t > 0) \quad (14)$$

将 u(x, t) 变量分别替换成 t 和 \tau, 将 t 和 \tau 离散, 并根据中心差分法、向后 Euler 格式和式(1), 式(14)变为

$$\frac{u(t_i, \tau_{k+1}) - u(t_i, \tau_k)}{l} = \frac{a {}^v}{h^R} \sum_{b=0}^i g_b \frac{[u(t_{i-b+1}, \tau_{k+1}) - u(t_{i-b-1}, \tau_{k+1})]}{2h} \quad (15)$$

其中: g\_b = \left[ \begin{matrix} -r \\ b \end{matrix} \right] = \frac{\Gamma(b-r)}{\Gamma(-r)\Gamma(b+1)}, \Gamma(v) 为 Gamma 函数, \Gamma(v) = \int\_0^\infty e^{-x} x^{v-1} dx = (v-1)!; m 为信号长度, 0 \le i \le m; h 为空间步长, 有 h = \frac{1}{f\_s} (f\_s 为采样频率); l 为时间步长; s 为总的迭代次数并满足 \tau = sl, 0 \le k \le s-1.

假设 u(t\_{-1}, \tau\_{k+1}) = 0, 并记 u\_i^k 为 u(t, \tau) 在节点 (t\_i, \tau\_k) 处的值, 式(15)为

$$u_i^{k+1} - u_i^k = \frac{a {}^v l}{2h^v} \sum_{b=0}^i g_b (u_{i-b+1}^{k+1} - u_{i-b-1}^{k+1}) \quad (16)$$

定义网格比 q = \frac{a {}^v l}{2h^v}, 根据式(13), 有

$$q = \frac{a {}^v l}{2h^v} = \frac{a {}^v \tau}{2h^v s} = \frac{a {}^v}{2 \left( \frac{1}{f_s} \right)^v s} \cdot \frac{0.115Y}{a {}^v (2\pi f_n)^v \left| \cos \frac{v\pi}{2} \right|} = \frac{0.0575Y}{(2\pi)^v s \left| \cos \frac{v\pi}{2} \right|} \left( \frac{f_s}{f_n} \right)^v \quad (17)$$

式(16)变为

$$u_i^{k+1} - u_i^k = q \sum_{b=0}^i g_b (u_{i-b+1}^{k+1} - u_{i-b-1}^{k+1})$$

即

$$qg_{i-1}u_0^{k+1} - q(g_i - g_{i-2})u_1^{k+1} - \dots - q(g_2 - g_0)u_{i-1}^{k+1} - [qg_1 - 1]u_i^{k+1} - qg_0u_{i+1}^{k+1} = u_i^k \quad (18a)$$

记  $C = \{c_1, c_2, \dots, c_m, c_{m+1}, c_{m+2}\}$ , 其中  $c_1 = -qg_0, c_2 = -qg_1 + 1$ 。当  $3 \leq j \leq m+1, c_j = -q(g_{j-1} - g_{j-3}), c_{m+2} = qg_{m-1}$ , 则

$$c_{m+2}u_0^{k+1} + c_{m+1}u_1^{k+1} + \dots + c_3u_{i-1}^{k+1} + c_2u_i^{k+1} + c_1u_{i+1}^{k+1} = u_i^k \quad (18b)$$

若原始信号  $\mathbf{u}^0 = [u_1^0, u_2^0, \dots, u_{m-1}^0, u_m^0]$ , 迭代  $k$  次后的信号为  $\mathbf{u}^k = [u_1^k, u_2^k, \dots, u_{m-1}^k, u_m^k]$ , 假设边值  $u_0^k = 0, u_{m+1}^k = 0$ , 于是滤波过程为

$$\begin{bmatrix} u_1^k \\ u_2^k \\ \vdots \\ \vdots \\ u_{m-1}^k \\ u_m^k \end{bmatrix} = \begin{bmatrix} c_2 & c_1 & & & & \\ c_3 & c_2 & c_1 & & & \\ \vdots & \vdots & \vdots & \ddots & & \\ \vdots & \vdots & \vdots & \ddots & \ddots & \\ \vdots & \vdots & \vdots & \ddots & \ddots & c_1 \\ \vdots & \vdots & \vdots & \ddots & \ddots & c_2 \\ c_{m+1} & c_m & c_{m-1} & \dots & c_3 & c_2 \end{bmatrix} \begin{bmatrix} u_1^{k+1} \\ u_2^{k+1} \\ \vdots \\ \vdots \\ u_{m-1}^{k+1} \\ u_m^{k+1} \end{bmatrix} \quad (19a)$$

$$\mathbf{A} = \begin{bmatrix} c_2 & c_1 & & & & \\ c_3 & c_2 & c_1 & & & \\ \vdots & \vdots & \vdots & \ddots & & \\ \vdots & \vdots & \vdots & \ddots & \ddots & \\ \vdots & \vdots & \vdots & \ddots & \ddots & c_1 \\ \vdots & \vdots & \vdots & \ddots & \ddots & c_2 \\ c_{m+1} & c_m & c_{m-1} & \dots & c_3 & c_2 \end{bmatrix} \quad (19b)$$

式(18)可以记为

$$\begin{cases} \mathbf{A}\mathbf{u}^{k+1} = \mathbf{u}^k \\ \mathbf{u}^{k+1} = \mathbf{A}^{-1}\mathbf{u}^k \end{cases} \quad (20)$$

式(15)中, 分数阶微分方程向后 Euler 格式迭代过程对网格比  $q$  没有限制<sup>[17]</sup>。对于式(19), 当演化步长  $l = \tau$ , 总的迭代次数  $s = \tau/l = 1$ , 即形成了 PDE 降噪的快速算法。

$$\mathbf{u} = \mathbf{A}^{-1}\mathbf{u}^0 \quad (21)$$

用同样的方法, 可以得到任意整数  $n$  时的降噪过程。其结果只是当阶次不同时, 因  $\frac{\partial^n u}{\partial x^n}$  的中心差分形式不同, 使得滤波矩阵  $\mathbf{A}^{-1}$  中系数发生变化。

输入噪声信号  $\mathbf{u}^0$ , 截止频率为  $f_n$ , 采样频率为  $f_s$ , PDE 阶次为  $\nu$ 。输出降噪后信号  $\mathbf{u}$ 。任意分数阶 PDE 降噪算法如下:

1) 根据 PDE 的阶次  $\nu$ 、向后 Euler 公式和中心差分  $\frac{\partial^n u}{\partial x^n}$  得到如式(11)的离散方程;

2) 根据 PDE 的阶次  $\nu$ 、采样频率  $f_s$  和截止频

率  $f_n$  计算网格比  $q$ ;

3) 根据  $g_b$  和网格比  $q$  计算集合  $C$ ;

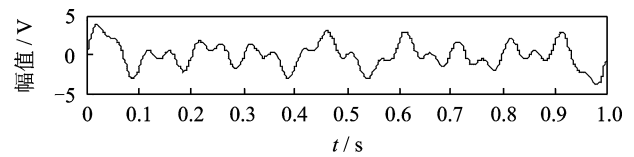
4) 计算矩阵  $\mathbf{A}$  并得到滤波矩阵  $\mathbf{A}^{-1}$ ;

5) 得到降噪后信号  $\mathbf{u}$ 。

## 3 实验分析与应用

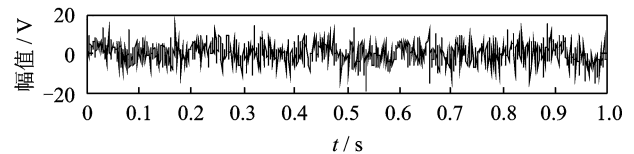
### 3.1 不同阶次降噪性能比较

图 2(a)为频率分别为 5, 7, 9, 10 和 20 Hz 的正弦信号叠加而成的仿真信号, 各信号分量的幅值为 1 V。对该信号分别叠加不同信噪比的高斯白噪声 (信噪比分别为 -10, -5, 0, 5 和 10 dB), 采样频率为 1 kHz, 取 1 000 个采样点进行降噪对比实验。其中, 图 2(b)为信噪比为 -10 dB 的高斯白噪声。



(a) 原始信号

(a) The superposed sinusoidal signal



(b) 含高斯白噪声的混合信号

(b) The interfered-signal

图 2 仿真信号

Fig. 2 The simulation signal

图 3 为降噪效果随阶次变化曲线。从图 3 中可以看出, 随着阶次的增大, 信噪比并未呈单调增加, 在 4 阶附近获得较好的降噪效果。这是因为在滤波器设计过程中, 应根据噪声信号的类型不同, 合理设置滤波器通带截止频率和阻带截止频率。对于本研究的仿真信号, 由于噪声为宽带噪声, 当阶次较高时, 虽 PDE 滤波器符合优良滤波特性要求, 但低频噪声将会更多地保留, 从而降低了滤波效果。所以信噪比并未呈单调增加, 而是在 4 阶附近获得较好的降噪效果。当为奇次阶时, PDE 滤波器幅频特性为 1, 滤波前后信号幅频特性不变, 因此信噪比不变, 且奇次阶附近阶次降噪效果较差。

为了对比实际滤波器跟理想滤波器之间的差异, 定义相对误差百分比  $A$  为

$$A = \frac{B - C}{C} \times 100\% \quad (22)$$

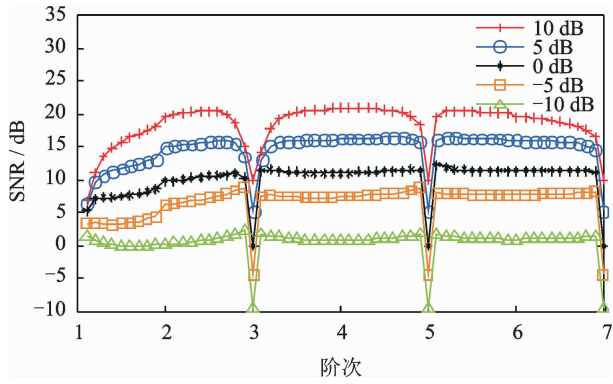


图 3 降噪效果(SNR)随阶次变化图

Fig. 3 Noise reductions (SNR) with different order

其中: $B$  为实际值; $C$  为理论值。

图 4 为 IIR 数字滤波器和 PDE 滤波器的相对误差百分比对比图。其中,IIR 数字滤波器和 PDE 滤波器的参数相同,通带截止频率为 35Hz,阻带截止频率为 67Hz,PDE 滤波器的阶次为 4。从图 4 可以看出,IIR 数字滤波器的误差比 PDE 滤波器要高且波动大,PDE 实际滤波器与理论滤波器之间的差异很小。

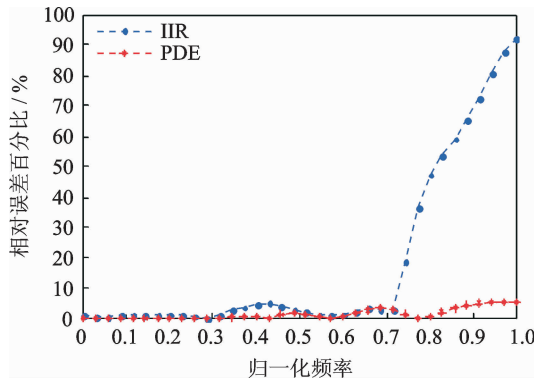


图 4 IIR 数字滤波器与 PDE 滤波器的相对误差对比图

Fig. 4 The percentage absolute relative error of IIR filter and the proposed PDE filter

### 3.2 与其他降噪方法的比较

采用小波去噪、IIR 数字滤波以及 4 阶 PDE 差分求解去噪等方法分别对不同信噪比的仿真信号进行去噪分析。表 1 为不同滤波方法下降噪效果的对比。

表 1 不同滤波方法下的降噪效果

Tab. 1 Performance comparison with different methods

方法	SNR/dB				
	-10	-5	0	5	10
小波去噪(db8)	2.63	5.53	11.59	16.22	20.14
IIR 滤波	1.26	7.55	11.50	15.67	19.47
PDE 数值法	3.45	8.49	12.25	16.35	20.83

表 1 中,小波去噪的小波基为 db8,分解层数为 5,阈值函数为软阈值,表中 IIR 滤波采用的是 3 阶巴特沃斯数字滤波器。根据图 3,选择 4 阶 PDE 进行比较。其中,IIR 数字滤波器法、PDE 差分求法的截止频率为 35 Hz。从表 1 看出,在信噪比较大时,小波方法和 PDE 差分方法具有相近的降噪效果( $> 5$  dB);而信噪比较低时,PDE 差分方法有较明显的降噪效果( $-5$  dB)。在实际应用中,小波去噪过程复杂,需要根据信号的特点选择不同的小波基、阈值函数等。图 5 为对信号比 SNR=5 dB 的信号降噪比较。另外,从图 5(c)中可以看出,IIR 数字滤波会产生时移(红色标记)。

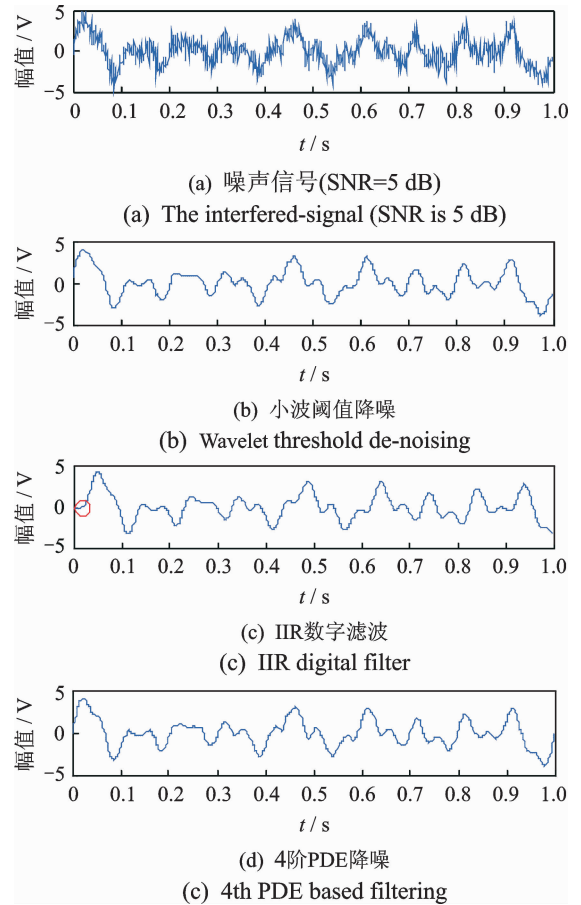


图 5 不同方法的降噪效果图

Fig. 5 Noise reduction of different filtering methods

表 2 为几种去噪方法的时间性能比较。CPU 为 Intel(R) Core(TM) i3,主频为 2.27GHz,内存为 4GB,每个方法运行 8 次,剔除最高和最低值,求剩余 6 次平均运行时间。

表 2 时间性能比较

Tab. 2 Time performance comparison		
小波降噪	IIR 滤波	PDE 数值法
0.072	0.003	0.003

从表2可以看出,几种去噪方法中IIR滤波、PDE数值求解耗时相当,小波降噪方法耗时最长。

### 3.3 现场应用

轴心轨迹作为转子振动信号的一类重要图形征兆,其形状和动态特性包含了丰富的故障征兆信息。然而在现场实际测量的振动信号中往往都会受到噪声污染,轴心轨迹非常复杂,不易获得清晰的特征。因此,对轴心轨迹降噪成为转子特征提取的关键之一。图6是在重庆大学测试中心的转子实验台现场实验图。

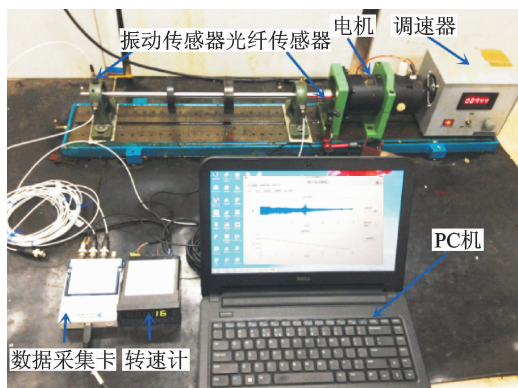


图6 现场实验图

Fig. 6 Field experiment

图7(a)和7(b)分别为转轴原始轴心轨迹图和使用PDE降噪之后的轴心轨迹图。其转子转速为6970 r/min,采样频率为1652 Hz。从图7(a)中可以看出,原始轴心轨迹较混乱。如图3所示,PDE滤波器在阶次4附近区域的降噪效果相近,为了方便PDE滤波的数值计算,图7(b)PDE降噪阶次选取整数阶次4,PDE降噪的截止频率为85 Hz。由图7可以看出,该轴的轴心轨迹为椭圆形,表明该轴存在严重的不平衡,而其他故障很小。

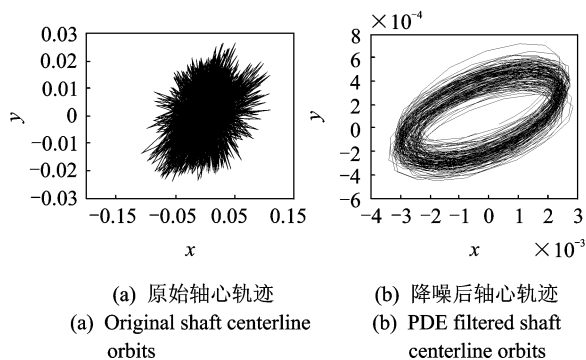


图7 滤波前后的轴心轨迹图

Fig. 7 Original and PDE filtered shaft centerline orbits

## 4 结束语

PDE在图像滤波、修补和增强等方面都取得了很好的效果。将PDE用于一维信号的降噪处理的研究才刚刚起步,主要集中在整数阶的降噪方法。笔者从滤波器设计的角度,提出了任意阶PDE滤波器统一模型,研究了PDE滤波的两种数值化过程,建立了基于数字差分求解的降噪一般过程,分析了阶次对降噪性能和时间性能的影响。通过仿真信号对小波阈值去噪,IIR数字滤波降噪及PDE数值求解降噪等多种去噪方法进行了对比分析。实验表明,分数阶PDE数值求解去噪方法算法简单,效果良好,是一种有效的信号去噪方法。

### 参 考 文 献

- [1] 钱征文,程礼,李应红. 利用奇异值分解的信号降噪方法[J]. 振动、测试与诊断,2011(4):459-463.  
Qian Zhengwen, Cheng Li, Li Yinghong. Noise reduction method based on singular value decomposition [J]. Journal of Vibration, Measurement & Diagnosis, 2011(4):459-463. (in Chinese)
- [2] Donoho D L. De-noising by soft-thresholding information theory[J]. IEEE Transactions on , 1995,41(3): 613-627.
- [3] 秦毅,王家序,毛永芳. 基于软阈值和小波模极大值重构的信号降噪[J]. 振动、测试与诊断,2011(5):543-547.  
Qin Yi, Wang Jiayu, Mao Yongfang. Signal denoising based on soft thresholding and reconstruction from dyadic wavelet transform modulus maxima [J]. Journal of Vibration, Measurement & Diagnosis, 2011(5): 543-547. (in Chinese)
- [4] Dragomiretskiy K, Zosso D. Variational mode decomposition signal processing [J]. IEEE Transactions on, 2014,62(3):531-544.
- [5] 徐仁林,安伟. 小波降噪在信号基于EMD的Hilbert变换中的应用[J]. 噪声与振动控制,2008(3):74-77.  
Xu Renlin, An Wei. Wavelet denoise application in the signal hilbert transform based on EMD [J]. Noise and Vibration Control, 2008(3):74-77. (in Chinese)
- [6] 张磊,彭伟才,原春晖,等. 奇异值分解降噪的改进方法 [J]. 中国舰船研究,2012(5):83-88.  
Zhang Lei, Peng Weicai, Yuan Chunhui, et al. An improved method for noise reduction based on singular



value decomposition[J]. Chinese Journal of Ship Research, 2012(5):83-88. (in Chinese)

[7] 刘艺柱,杨瑞兰.采用滑动平均滤波法提高硬币识别准确率的研究[J].制造业自动化,2010(1):42-44.

Liu Yizhu, Yang Ruilan. Moving average filtering method used to improve the accuracy of coins to identify research[J]. Manufacturing Automation, 2010(1): 42-44. (in Chinese)

[8] 杨柱中,周激流,晏祥玉,等.基于分数阶微分的图像增强[J].计算机辅助设计与图形学学报,2008(3): 343-348.

Yang Zhuzhong, Zhou Jiliu, Yan Xiangyu, et al. Image enhancement based on fractional differentials[J]. Journal of Computer-Aided Design & Computer Graphics, 2008(3):343-348. (in Chinese)

[9] Machado B B, Goncalves W N, Bruno O M. Enhancing the texture attribute with partial differential equations; a case of study with Gabor filters[J]. Advanced Concepts for Intelligent Vision Systems, 2011, 6915: 337-348.

[10] Baravdish G, Evangelista G, Svensson O, et al. PDE-SVD based audio denoising [C] // Communications Control and Signal Processing (ISCCSP). Washington DC, USA: IEEE, 2012:1-6.

[11] Yin Aijun, Zhao Lei, Yang Zhengyi, et al. Noise reduction method for vibration signals 2D time - frequency distribution using anisotropic diffusion equation [J]. Mathematical Methods in the Applied Sciences, 2015,38(4):609-616.

[12] 尹爱军,王璇. PDE 信号修补方法及在 EMD 端点效应处理中的应用[J]. 振动与冲击,2012(2):6-9,61.

Yin Aijun, Wang Xuan. Signal restoring based on PDE and its application in end effect processing of EMD[J]. Journal of Vibration and Shock, 2012(2):6-9,61. (in Chinese)

[13] Pu Yifei, Siarry P, Zhou Jiliu, et al. Fractional partial differential equation denoising models for texture image[J]. Science China-Information Sciences, 2014,57 (7):1-19.

[14] Bai J, Feng X C. Fractional-order anisotropic diffusion for image denoising [J]. Ieee Transactions on Image Processing, 2007,16(10):2492-2502.

[15] 蒲亦非. 分数阶微积分在现代信号分析与处理中应用的研究[D]. 成都:四川大学,2006.

[16] Chen Changming, Liu F, Turner I, et al. A Fourier method for the fractional diffusion equation describing sub-diffusio [J]. Journal of Computational Physics, 2007,227(2):886-897.

[17] El-Mikkawy M E A. On the inverse of a gene tridiagonal matrix [J]. Applied Mathematics and Computation, 2004,150(3):669-679.



第一作者简介:尹爱军,男,1978年5月出生。教授、博士生导师。主要研究方向为智能测试与虚拟仪器、现代信号分析处理及故障检测与诊断等。曾发表《Thermography spatial-transient-stage mathematical tensor construction and material property variation track》(《International Journal of Thermal Science》2014, Vol. 85)等论文。  
E-mail: aijun. yin@cqu. edu. cn

## 森德格公司新一代振动诊断仪、动平衡仪

诊断仪不同于一般的分析仪,将振动故障诊断的成熟理论、诊断专家多年的经验融合到手持式仪器中,只需输入几个设备参数,依据提示测量,便可自动识别 80% 的常见故障。采用多参数缺陷识别算法的滚动轴承诊断系统,更是大大降低了常见单参数系统(包络或冲击法)的误诊率。

